

С 341.1

A-139

ОБЪЕДИНЕННЫЙ ИНСТИТУТ ЯДЕРНЫХ ИССЛЕДОВАНИЙ

ЛАБОРАТОРИЯ ЯДЕРНЫХ ПРОБЛЕМ

3074

А.А. Абдумаликов

ИССЛЕДОВАНИЕ СВОЙСТВ
НЕЙТРОНОДЕФИЦИТНЫХ ИЗОТОПОВ ИТТЕРБИЯ,
ТУЛИЯ И ЦЕРИЯ

Автореферат диссертации на соискание ученой степени
кандидата физико-математических наук

Научные руководители -
кандидат физико-математических наук
К.Я. ГРОМОВ ,
кандидат физико-математических наук
доц. А.А. АБДУРАЗАКОВ

Дубна 1966

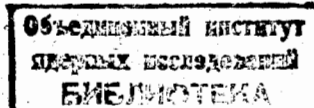
3074

А.А. Абдумаликов

4/48 бп.
ИССЛЕДОВАНИЕ СВОЙСТВ
НЕЙТРОНОДЕФИЦИТНЫХ ИЗОТОПОВ ИТТЕРБИЯ,
ТУЛИЯ И ЦЕРИЯ

Автореферат диссертации на соискание ученой степени
кандидата физико-математических наук

Научные руководители –
кандидат физико-математических наук
К.Я. ГРОМОВ ,
кандидат физико-математических наук
док. А.А. АБДУРАЗАКОВ



За последние годы ядерной физикой был накоплен большой экспериментальный материал, который стал основой для создания модельных представлений о строении ядра. Большие успехи достигнуты при объяснении ряда свойств сферических ядер с числом протонов и нейtronов, близким к магическому, на основе оболочечной модели (Майер и др.). Физические свойства деформированных ядер с массовым числом $150 \leq A \leq 190$ и $A \geq 222$ в значительной степени удалось объяснить на основе обобщенной модели, развитой О. Бором и Моттельсоном, схемы Нильссона и сверхтекучей модели Соловьева. Эти модели атомного ядра дали возможность систематизировать имеющиеся экспериментальные данные и классифицировать многие уровни ядер по их природе. Полученный экспериментальный материал служит не только для проверки применимости моделей, но также является основой для дальнейшего развития модельных представлений о ядре. В настоящее время имеется предположение, основанное на экспериментальных данных о том, что существует новая область деформированных ядер в районе нейтронодефицитных изотопов с $A \sim 130$. В связи с этим является очень важным и интересным детальное изучение свойств нейтронодефицитных изотопов редкоземельных элементов.

Настоящая диссертация посвящена исследованию свойств ядер, образующихся при распаде изотопов иттербийовой, тулиевой и цериевой фракций. Нейтронодефицитные изотопы церия и их дочерние ядра находятся в новой области деформации или около границы этой области.

Исследования производились с помощью бета-спектрометра с постоянным магнитным полем. Нейтронодефицитные изотопы редких земель мы получали при облучении танталовой, эрбиевой и гадолиниевой мишней протонами с энергией 660 МэВ на синхроциклотроне Лаборатории ядерных проблем ОИЯИ.

Первая глава диссертации посвящена описанию основных характеристик бета-спектрографа с постоянным магнитным полем, методам определения энергий и относительных интенсивностей конверсионных электронов, а также изготавления источников. Нами получено высокое разрешение $\delta = 0,02\%$, удалось улучшить точность определения энергий конверсионных электронов, следовательно, γ -переходов, до $0,03\%$ и исследовать зависимость между чувствительностью фотомультиpliera ($P = 50 \mu$) и энергией электронов вплоть до энергии 1200 кэВ.

Во второй главе изложены результаты исследований спектра конверсионных электронов изотопов иттербийевой фракции в интервале энергии от 15 до 900 кэВ.

Уточнены энергии γ -переходов, возникающих при распаде ^{167}Yb . Экспериментальные данные, полученные нами, подтверждают существование четырех возбужденных уровней ^{167}Ta с энергиями 116,60; 142,50; 170,55 и 282,90 кэВ.

В данной работе впервые показано, что при распаде ^{164}Yb возникают следующие γ -переходы с энергиями: 37,52 (M1); 40,82(E1); 149,30; 164,45(M1); 187,77(M1); 190,35; 324,2; 327,3; 362,6 и 390,3 кэВ. Это свидетельствует о том, что распад ^{164}Yb происходит не только в основное состояние ^{164}Ta , но также и на возбужденные состояния этого ядра. Определена мультипольность четырех переходов. Предполагается, что в ядре ^{164}Ta возбуждается ротационный уровень с энергией 37,52 кэВ и с квантовыми характеристиками $I^\pi = 2^+$, $K = 2^+$. Интенсивность перехода 37,52 кэВ составляет не больше чем 3% на распад ^{164}Yb , и этот переход является самым интенсивным переходом среди переходов, возникающих при распаде ^{164}Yb . Отсюда следует, что распад ^{164}Yb главным образом идет в основное состояние ^{164}Ta .

В результате исследований спектра конверсионных электронов иттербийевой и тулиевой фракций установлено существование ранее неизвестных изотопов иттербия ^{162}Yb и туния ^{162}Ta . Измерен период полураспада этих изотопов, равный ~ 25 мин = 1500 сек и $(21,5 \pm 1,0)$ мин = (1290 ± 60) сек, соответственно. Доказано существование γ -переходов с энергиями 102,0 и 227,5 кэВ, возникающих при распаде ^{162}Ta . Установлено, что оба перехода являются E2-переходами. Обнаружены позитроны ^{162}Ta с граничными энергиями и относительными интенсивностями 3820 ± 50 кэВ (100); 2300 ± 100 кэВ (120) и 900 ± 150 кэВ (~ 30). Предложена схема распада цепочки $^{162}\text{Yb} \rightarrow ^{162}\text{Ta} \rightarrow ^{162}\text{Er}$ (рис. 1).

Третья глава посвящена исследованию свойств нейтронодефицитных ядер изотопов тулиевой фракции. Спектр конверсионных электронов изучался в интервале энергии от 15 до 1300 кэВ.

Подтверждено существование следующих пятидесяти γ -переходов (энергия определена с точностью 0,03%), возникающих при распаде ^{166}Ta : 73,50(E2); 80,60 (E2); 84,15 (M1); 96,80 (E2); 131,10; 147,30; 154,45 (M1+E2); 170,35 (E2); 184,40 (E2); 184,80 (M1); 215,20 (E1); 280,3 (E2); 298,1; 319,8; 345,7 (E2, M1); 390,3; 403,9 (E2, M1); 410,9; 413,5; 429,7; 459,5 (M1, E2); 471,8; 520,9; 529,8; (E2+ M1); 594,3 (E2); 598,7 (E1); 604,3; 672,0 (E1); 874,6 (E1); 691,1 (E2); 705,3 (E2); 712,4; 729,4 (E1, E2); 757,7 (E2, M1); 778,8 (E2); 785,9 (E2); 810,1 (E2, E1); 875,5 (E2); 1057,5; 1078,9; 1084,8; 1152,3 (E2, M1); 1176,5 (M1); 1203,9 (M1, E2); 1235,3 (E1); 1263,2; 1273,4 (M1); 1300,8 (M1); 1347,0 (E2, M1) и 1374,3 (M1) кэВ и, кроме того, обнаружены девять новых γ -переходов с энергиями 112,75 (M1+E2); 215,80; 228,15; 238,50; 293,1; 385,5; 389,4; 496,7; 543,4 и 702,4 кэВ. Определена мультипольность семи γ -переходов. На основе экспериментальных данных подтверждено, что при распаде ^{166}Ta возбуждаются следующие уровни: $80,60 (2^+)$; $265,00 (4^+)$; $545,30 (6^+)$; $785,9 (2^2)$; $859,4 (3^2)$; $956,2 (4^2)$; $1075,2 (5^2)$; $1458,0 ((2^-)(2))$; $1917,6 (3^- (3))$; $1938,2 (2^+, 3^+)$; $2132,8 (3^+)$; $2160,2 (3^+)$ кэВ и введен нами уровень с энергией 2001,7 ($2^-, 3^-$) кэВ. Высказаны соображения о квантовых характеристиках трех возбужденных уровней ^{166}Er . Установлено, что переход 215,80 кэВ происходит между уровнями (5^2) и (3^2) γ -вибрационной полосы, а переход с энергией 215,20 кэВ расположжен между уровнями 2132,8 и 1917,6 кэВ.

Подтверждены данные, имеющиеся в литературе, об энергии γ -переходов ^{165}Ta и обнаружены два новых перехода с энергиями 222,0 и 238,4 кэВ. На основе уточненных значений энергии γ -переходов определены энергии возбужденных уровней ^{165}Er до 920,4 кэВ.

Впервые обнаружены следующие γ -переходы с энергиями (84,10); (94,78); 170,63; 189,9; 201,5; (209,2); (210,6); 216,5; 217,7; (259,9); (280,6); 304,2; 315,3; 330,3; 416,7; 544,1; 635,5 кэВ, и эти переходы, за исключением 201,5 и 315,3 кэВ, к распаду ^{164}Ta отнесены предположительно, так как для этих переходов заряд ядра не установлен. Установлена мультипольность перехода 208,0 (E2) кэВ. Предположительно введен уровень с энергией 614,7 ($6^+ 0$) кэВ.

Уточнены энергии возбужденных уровней $81,40(2^+0)$; $299,4(4^+0)$ и $860,6(2^+2)$ кэв.

Получены существенно новые данные о распаде ^{161}Ta . Установлено существование двадцати семи γ -переходов, возникающих при распаде ^{161}Ta :
28,00 (M1); 45,58 (M1+E2,E1); 59,50 (M1+E2); 78,02 (E2+M1); 84,42 (M1+E2);
94,40 (E2); 105,90 (M1); 112,55 (M1); 122,57 (M1); 138,70; 143,95 (E2);
148,7 (M1); 158,5; 172,0 (M1); 172,8; 181,9; 190,4; 207,0; 215,8; 218,2;
244,5; 250,1; 252,5; 265,4; 283,5; 353,8 и 372,6 кэв. За исключением переходов 84,42; 143,95; 148,7 и 172,0 кэв все перечисленные переходы обнаружены нами впервые. Определена мультипольность двенадцати переходов. На основе полученных данных предложена схема распада ^{161}Ta (рис. 2). Определены квантовые характеристики основного состояния ^{161}Er и установлено, что в ядре $^{161}_{68}\text{Er}_{93}$ возбуждаются ротационные уровни основного состояния с энергиями и квантовыми характеристиками 59,50 кэв ($5/2^- 3/2^-$ [521]) и 143,95 кэв ($7/2^- 3/2^-$ [521]); одиночественное состояние с энергией 172,0 кэв ($5/2^- 5/2^-$ [523]) и его ротационный уровень с энергией 250,0 кэв ($7/2^- 5/2^-$ [523]). Также введены два уровня с энергиями 146,7 и 353,8 кэв. Предполагается, что основное состояние ^{161}Ta , как и другие нечетные ядра тулия, имеют квантовые характеристики $1/2^+$ [411]. Таким образом, вся совокупность экспериментальных данных о ядре ^{161}Er показывает, что это ядро, как и другие ядра эрбия, сильно деформировано.

В последней, четвертой главе приведены результаты исследований радиоактивного распада изотопов церия с массовым числом $A = 139, 135, 133$ и 132.

Уточнена энергия γ -перехода с энергией 165,78 кэв и определена его мультипольность – M1. Данные, полученные нами по ^{139}Ce , подтверждают схему распада ^{139}Ce .

При изучении спектра конверсионных электронов периевой фракции наблюден ранее известный изомерный переход с энергией 254,30 кэв $^{187}\text{*Ce}$ и уточнена его энергия. Установлена мультипольность этого перехода – M4. Следовательно, подтверждено, что спин и четность изомерного состояния $11/2^-$.

В результате исследований электронов внутренней конверсии ^{135}Ce обнаружены 24 γ -перехода, из них переходы с энергиями 59,08; 86,8; 88,6; 118,0; 119,5; 132,8; 146,0; 178,0; 200,7 и 287,5 кэв обнаружены впервые.

Определена мультипольность следующих γ -переходов: 86,9 (E2+M1); 88,8 (M1); 118,0 (M1); 119,5 (M1+E2); 206,4 (M1); 265,5 (M1) и 300,0 (E2) кэв. На основе полученных данных предложена схема распада ^{135}Ce . При этом введены семь возбужденных уровней ^{135}La с энергиями и квантовыми характеристиками $118,5(7/2^+)$; $206,4(5/2^+)$; $265,5(3/2^+ \text{ или } 5/2^+)$; $300,0(1/2^+)$; $783,2(\leq 5/2^+)$; $871,8(\leq 5/2^+)$ и $1170,8(\leq 5/2^+)$ кэв. Высказаны соображения о квантовых характеристиках основного состояния $^{135}\text{Ce}(3/2^+)$ и $^{135}\text{La}(5/2^+)$.

Спектр конверсионных электронов ^{133}Ce впервые исследован нами. Установлено, что при распаде ^{133}Ce возникают γ -переходы с энергиями 76,8; 97,1 и 174,0 кэв. Определена мультипольность двух переходов 76,8 (M1) и 97,1 (M1) кэв. На основе данных значений энергий, мультипольности и полных интенсивностей переходов предложена возможная схема распада ^{133}Ce . При этом введены два возбужденных уровня с энергиями 97,1 и 174,0 кэв.

Впервые изучен спектр конверсионных электронов, возникающий при распаде ^{132}Ce . При этом обнаружены следующие γ -переходы с энергиями: (29,8); (42,8); 58,35 (M1+E2); (72,4); 87,8 (M1+E2); 123,7; 127,8; 130,7 (M1+E2); 137,8; 142,3; 155,5 (E1); 177,1; 178,6; 182,2 (E1); 190,2 (M1); 216,8; 251,5; 261,3; 320,5; 345,9; 363,9; 367,8; 404,5; 476,7 (E1) и 509,9 кэв. Определена мультипольность шести переходов. На основе полученных данных об энергиях, интенсивностях и мультипольностях γ -переходов предлагается схема возбужденных уровней ^{132}La (рис. 3). Приведены возможные квантовые характеристики основного состояния $^{132}\text{La}(\leq 2^-)$ и показано, что в ядре ^{132}La при распаде ^{132}Ce возбуждаются следующие уровни с квантовыми характеристиками: 58,35 ($\leq 3^-$); 87,8 ($\leq 3^-$); 130,7 ($\leq 3^-$); 182,2 (0^+ или 1^+); 286,2 ($\leq 2^+$) и 476,6 (0^+ или 1^+) кэв.

Полученные данные о распаде ^{135}Ce показывают, что ядро ^{135}La не является деформированным. Квантовые характеристики основного состояния

$^{135}\text{La}(5/2^+)$ и низких уровней этого ядра можно интерпретировать наиболее просто в рамках оболочечной модели. Если оно деформировано, то очень незначительно, и такая деформация, не влияет на свойства ядра, так как не наблюдаются ротационные уровни.

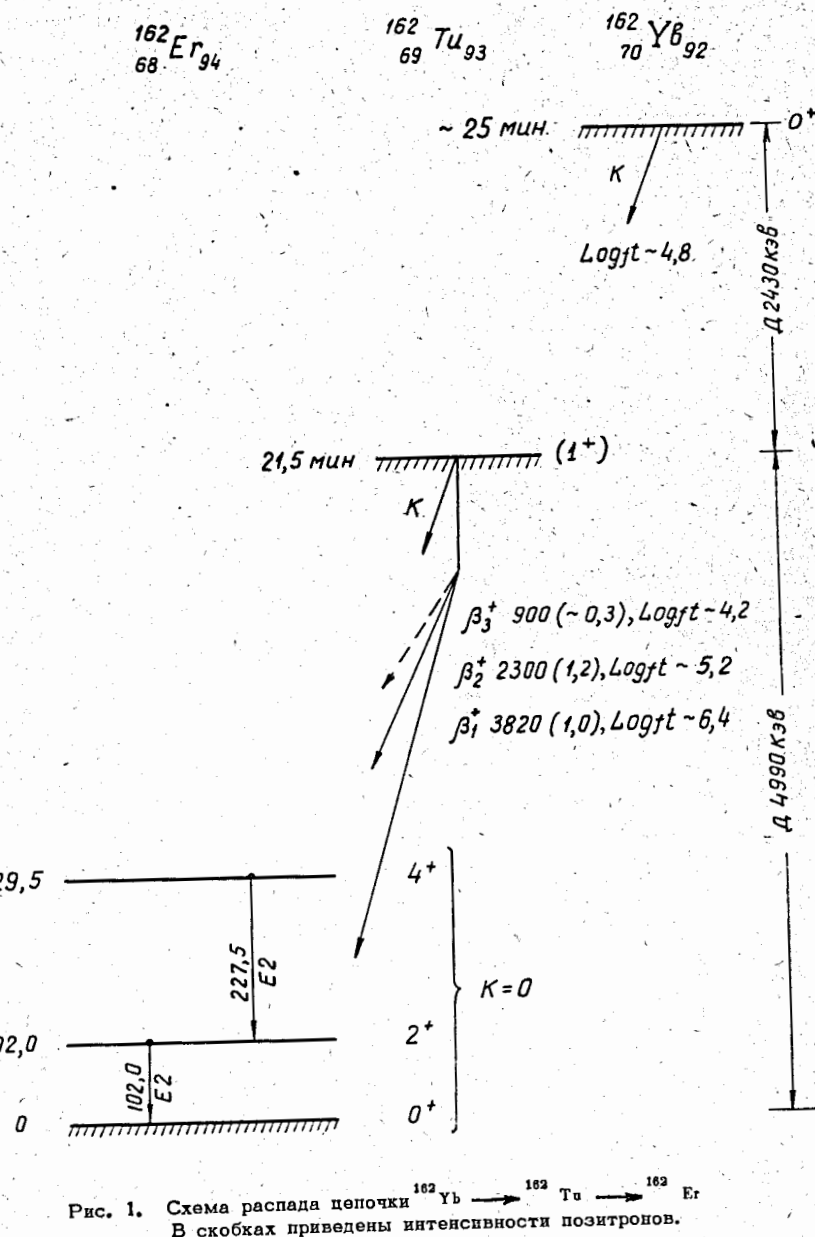
Как показывают данные о распаде ^{132}Ce , ядро ^{132}La ведет себя иначе, чем ^{135}La . Некоторые значения спинов и четностей возбужденных уровней ^{132}La в рамках оболочечной модели не находят объяснения, и, следовательно, дела-

132
ется предположение, что ядро ^{132}La деформировано и квантовые характеристики возбужденных уровней ^{132}La могут быть объяснены на основе схемы Нильссона.

Основные результаты, изложенные в диссертации, доложены на XIII-XVI Всесоюзных совещаниях по ядерной спектроскопии и структуре атомного ядра, а также на VI-IX рабочих совещаниях по ядерной спектроскопии нейтронодефицитных изотопов и теории ядра в Дубне (1963-1966 гг.) и опубликованы в следующих работах:

1. Abdumalikov A., Abdurazakov A., K. Gromov, Zh. Zhelev., N. Lebedev, B. Dzhelopov, A. Kudryavtseva. Phys. Lett., 5, 359 (1963).
2. Абдумаликов А.А., Абдуразаков А.А., Громов К.Я. Изв. АН СССР, серия физическая, 28, 257 (1964) и Программа и тезисы докладов XIV ежегодного совещания по ядерной спектроскопии в Тбилиси. Изд-во "Наука", 54, 1964.
3. Абдумаликов А.А., Абдуразаков А.А., Гнатович В., Громов К.Я., Джелопов Б.С. Изв. АН УзССР, серия физ.-мат. наук, № 6, 58 (1965). Программа и тезисы докладов XIV ежегодного совещания по ядерной спектроскопии в Тбилиси. Изд-во "Наука", 61, 1964.
4. Абдумаликов А.А., Гнатович В., Громов К.Я. Программа и тезисы докладов XVI ежегодного совещания по ядерной спектроскопии и структуре атомного ядра. Изд-во "Наука", Москва, 62, 1966.
5. Абдумаликов А.А., Абдуразаков А.А., Громов К.Я. Изв. АН Уз ССР, серия физ.-мат. наук, № 6, 58 (1965). Программа и тезисы докладов XIV ежегодного совещания по ядерной спектроскопии в Тбилиси. Изд-во "Наука", 59, 1964.
6. Абдумаликов А.А., Абдуразаков А.А., Бурибаев С., Громов К.Я., Лебедев Н.А. Ядерная физика, 3, вып. 4, 602 (1966); Препринт ОИЯИ, Р-2235, Дубна, 1965.
7. Абдумаликов А.А., Абдуразаков А.А., Громов К.Я., Лебедев Н.А. Препринт ОИЯИ, Р-2236, Дубна, 1965.
8. Абдумаликов А.А., Абдуразаков А.А., Громов К.Я., Исламов Т.А. Программа и тезисы докладов XVI ежегодного совещания по ядерной спектроскопии и структуре атомного ядра. Изд-во "Наука", Москва, 27, 1966.

Рукопись поступила в издательский отдел
14 декабря 1966 г.



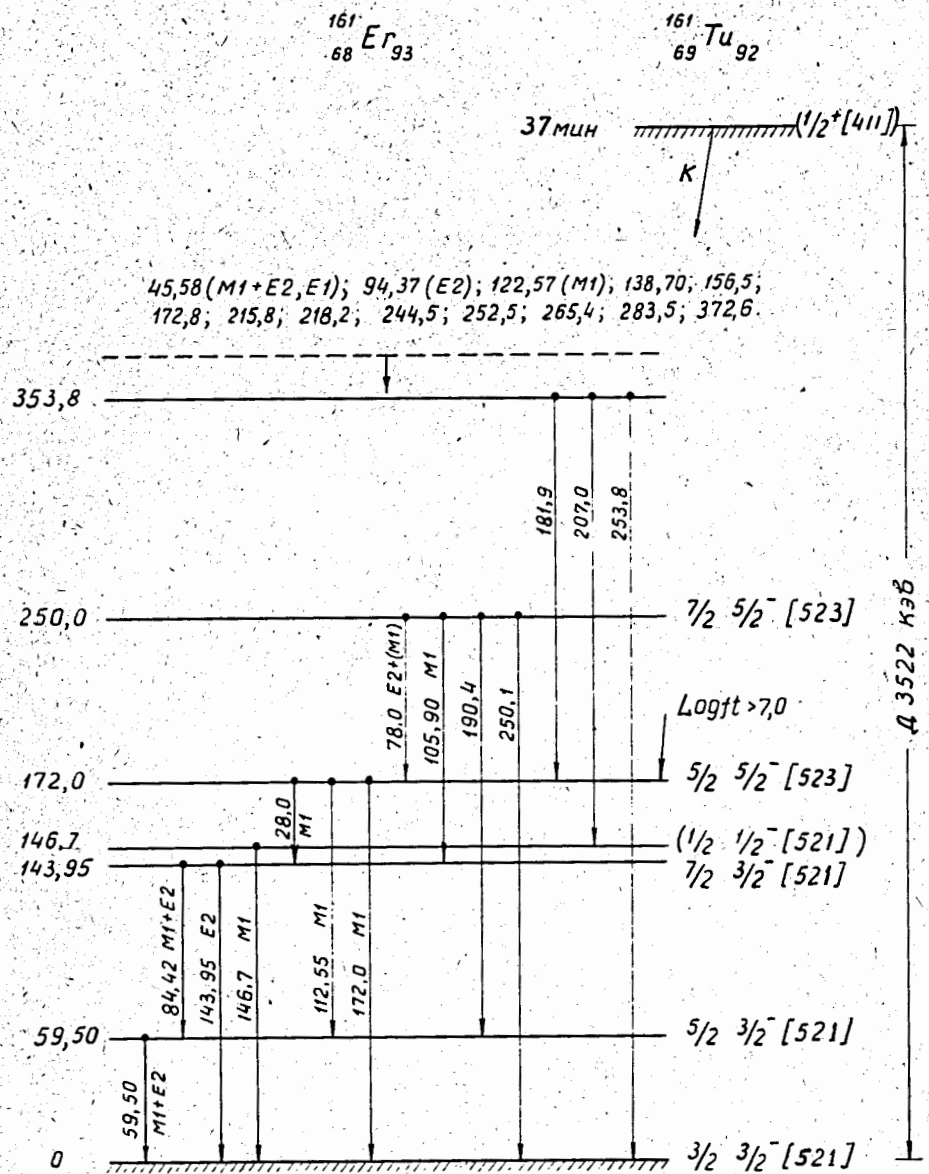


Рис. 2. Схема распада ^{161}Tb .

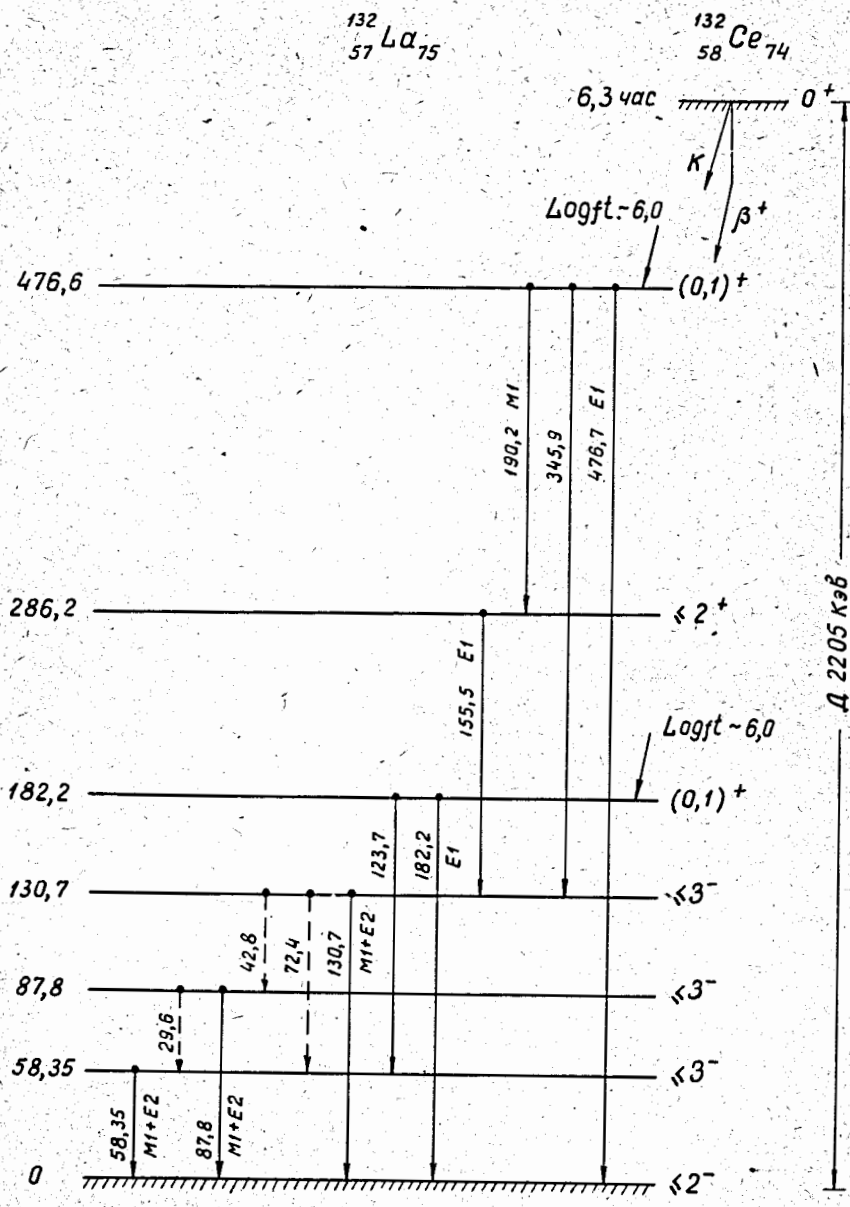


Рис. 3. Схема распада ^{132}Ce .